

## О ГРАНИЦАХ ПРИМЕНИМОСТИ СООТНОШЕНИЙ КРАМЕРСА–КРОНИГА В ПРИСУТСТВИИ ДОБАВОЧНОЙ СВЕТОВОЙ ВОЛНЫ

*М. И. Страшникова, Е. В. Моздор\**

*Институт физики Национальной академии наук Украины  
252650, Киев, Украина*

*Институт физики полупроводников Национальной академии наук Украины  
252650, Киев, Украина*

Поступила в редакцию 11 ноября 1997 г.

Проанализирована правомочность применения соотношений Крамерса–Кронига к средам, в которых существенна пространственная дисперсия диэлектрической проницаемости и возникают пекаровские добавочные световые волны. Расчеты выполнены в широком диапазоне изменения значений константы затухания экситонов  $\Gamma$  при наличии и отсутствии «мертвого слоя» на поверхности кристалла. Определены условия, при которых использование соотношений Крамерса–Кронига для вычисления оптических констант вещества дает правильные результаты.

### 1. ВВЕДЕНИЕ

В основополагающей работе [1] Пекар рассмотрел взаимодействие света со средами, в которых существенна пространственная дисперсия диэлектрической проницаемости  $\epsilon(\omega, \mathbf{K})$  в экситонной области спектра. Он впервые предсказал добавочные световые волны и высказал новую точку зрения на экситонное поглощение света. Согласно [1, 2], это поглощение «обусловлено переходами системы из созданных светом экситонных состояний в какие-либо другие состояния, кроме исходного. Если эти переходы совершаются с высвечиванием, то имеет место комбинационное рассеяние первичного света. Если эти переходы совершаются термически с возбуждением тепловых колебаний, то имеет место обычное поглощение света.» Таким образом, поглощение связано с конечностью времени жизни экситона по отношению к безызлучательным переходам. Если таких переходов нет, то поглощения не будет, как бы ни была велика сила осциллятора.

Теория, следовательно, предсказывала, что возможны большая дисперсия показателя преломления при сильной связи экситонов с фотонами (при большой силе осциллятора перехода) и в то же время очень малое поглощение энергии, если связь экситонов с фононами слаба (при слабых безызлучательных переходах). Поэтому Пекар неоднократно подчеркивал, что если существенна пространственная дисперсия  $\epsilon$ , то определять силу осциллятора экситонного перехода следует не по площади под кривой поглощения, а только по кривизне дисперсионной кривой показателя преломления. Такое положение фактически означает нарушение классических соотношений Крамерса–Кронига.

\*E-mail: class@class.semicond.kiev.ua

Эти соотношения устанавливают интегральную связь между действительной и мнимой частями диэлектрической проницаемости  $\epsilon = \epsilon' + i\epsilon''$  [3]:

$$\epsilon'(\omega) - 1 = \frac{1}{\pi} \int_{-\infty}^{\infty} \frac{\epsilon''(x) dx}{x - \omega}, \quad (1)$$

$$\epsilon''(\omega) = \frac{1}{\pi} \int_{-\infty}^{\infty} \frac{\epsilon'(x) - 1}{x - \omega} dx. \quad (2)$$

Здесь интеграл от  $-\infty$  до  $+\infty$  понимается в смысле его главного значения. Соотношения Крамерса–Кронига были выведены на основании принципа причинности в случае локальной связи между возбуждающей электромагнитной волной и откликом кристалла. Это значит, что поляризация среды  $P$  в данной точке определяется значением напряженности электрического поля  $E$  в данный момент времени и во все ему предшествующие моменты в той же точке пространства. Как показано в [3], во всей верхней полуплоскости комплексной переменной  $\tilde{\omega}$  функция  $\epsilon(\tilde{\omega})$  является однозначной, нигде не обращающейся в бесконечность, т. е. не имеющей особых точек. Именно для такой функции Крамерс [4] и Крониг [5] получили соотношения (1), (2).

Если учесть, что  $\epsilon'(\omega)$  — четная, а  $\epsilon''(\omega)$  — нечетная функции  $\omega$ , то соотношения (1), (2) можно привести к виду, который удобен для сравнения эксперимента с теорией, т. е. для вещественных положительных  $\omega$ :

$$\epsilon'(\omega) = 1 + \frac{2}{\pi} \int_0^{\infty} \frac{x\epsilon''(x) dx}{x^2 - \omega^2}, \quad (3)$$

$$\epsilon''(\omega) = -\frac{2\omega}{\pi} \int_0^{\infty} \frac{\epsilon'(x) - 1}{x^2 - \omega^2} dx. \quad (4)$$

Диэлектрическая проницаемость выражается, как известно, через квадрат комплексного показателя преломления  $\tilde{n} = n + i\kappa$ :

$$\epsilon = \tilde{n}^2, \quad \epsilon' = n^2 - \kappa^2, \quad \epsilon'' = 2n\kappa.$$

Действительная и мнимая части  $\tilde{n}$ , т. е. показатель преломления  $n$  и коэффициент поглощения  $\kappa$ , также связаны интегральными соотношениями [6–8]:

$$n(\omega) = 1 + \frac{2}{\pi} \int_0^{\infty} \frac{x\kappa(x) dx}{x^2 - \omega^2}, \quad (5)$$

$$\kappa(\omega) = -\frac{2\omega}{\pi} \int_0^{\infty} \frac{n(x) - 1}{x^2 - \omega^2} dx. \quad (6)$$

В принципе, если измерить спектр поглощения вещества, можно рассчитать дисперсию его показателя преломления, и наоборот.

На практике в спектроскопии очень широко используется, кроме того, интегральная связь между коэффициентом отражения  $R(\omega)$  и изменением фазы световой волны при отражении  $\theta(\omega)$  [6]:

$$\theta(\omega) = -\frac{2\omega}{\pi} \int_0^{\infty} \frac{\ln \sqrt{R(x)}}{x^2 - \omega^2} dx, \quad (7)$$

$$\ln \sqrt{R(\omega)} = 1 + \frac{2}{\pi} \int_0^{\infty} \frac{x\theta(x)dx}{x^2 - \omega^2}. \quad (8)$$

Здесь  $R = \tilde{r}\tilde{r}^*$ , где  $\tilde{r} = |\tilde{r}| \exp(i\theta)$  — амплитудный коэффициент отражения. На основании этих соотношений и формул Френеля, выражающих  $R$  и  $\theta$  через оптические постоянные  $n$  и  $\kappa$ , можно по измеренному спектру отражения рассчитать оптические константы вещества в случаях, когда их измерение затруднено. В простейшем случае нормального падения формулы Френеля имеют вид

$$R = \frac{(n-1)^2 + \kappa^2}{(n+1)^2 + \kappa^2}, \quad (9)$$

$$\operatorname{tg} \theta = \frac{2\kappa}{n^2 + \kappa^2 - 1}. \quad (10)$$

Когда существенна пространственная дисперсия диэлектрической проницаемости, связь между возбуждением и откликом кристалла нелокальна, т. е. поляризация среды  $\mathbf{P}$  в данной точке пространства определяется значением напряженности электрического поля  $\mathbf{E}$  не только в той же точке, но и во всем бесконечном пространстве. В этом случае строго можно говорить лишь о «ядре поляризуемости», которое определяется интегральной зависимостью между поляризацией среды и напряженностью электрического поля. При этом диэлектрическая проницаемость  $\epsilon$  оказывается зависящей не только от частоты, но и от волнового вектора  $\mathbf{K} = \tilde{\mathbf{n}}\omega/c$  световой волны в кристалле. Как показал Пекар [1, 2], в этом случае появляются добавочные световые волны, или волны Пекара [9], и  $\epsilon(\omega, \mathbf{K}(\omega))$  становится неоднозначной функцией частоты, так как для каждого значения  $\omega$  получаются два значения  $\epsilon(\omega, \mathbf{K}(\omega))$ , соответствующие распространению в кристалле двух волн. В этом случае практическое применение соотношений (1), (2) становится невозможным даже с формальной точки зрения, поскольку неясно, какие именно значения  $\epsilon'$  и  $\epsilon''$ , либо их комбинации, следует подставлять в эти соотношения.

При независимых переменных  $\omega$  и  $\mathbf{K}$  обобщение соотношений Крамерса–Кронига на среды с пространственной дисперсией впервые было дано Леонтовичем [10]. Далее вопрос рассматривался в работах Давыдова [11], Мида [12], Гинзбурга, Меймана и Аграновича [13, 14]. Очень важным этапом в этих исследованиях было появление цикла работ Соловьева с соавт. [15–19], в которых выведены дополненные дисперсионные соотношения (см. ниже).

Целью настоящей работы было установление границ применимости соотношений Крамерса–Кронига (3)–(8) к средам, в которых существенна пространственная дисперсия  $\epsilon$ . Для этого показано, насколько ошибочно могут оказаться оптические постоянные, если они рассчитаны по соотношениям (3)–(8) для кристалла, в котором актуальны добавочные световые волны Пекара. Далее выяснено, какие же именно характеристики

среды соответствуют величинам, рассчитанным по соотношениям Крамерса–Кронига. И, наконец, определены значения параметров теории и экспериментальные условия, при которых использование этих соотношений становится правомочным.

## 2. СРАВНЕНИЕ ЭКСПЕРИМЕНТАЛЬНО ИЗМЕРЕННЫХ КРИВЫХ $n(\omega)$ И $\kappa(\omega)$ С РАССЧИТАННЫМИ ПО СООТНОШЕНИЯМ КРАМЕРСА–КРОНИГА

Невыполнимость соотношений Крамерса–Кронига в области экситонного поглощения при низких температурах была обнаружена на молекулярных кристаллах [20] и в кристалле CdS [21, 22]. В этих работах сравнивались размах кривой дисперсии показателя преломления  $n(\omega)$  и максимальный коэффициент поглощения  $\kappa^{max}$ , которые, согласно соотношениям Крамерса–Кронига, должны быть примерно равны. Однако в эксперименте размах  $n(\omega)$  всегда был больше, чем  $\kappa^{max}$  (в работе [22] — примерно на порядок). Кроме того, согласно соотношениям Крамерса–Кронига, как показано в [23], внутри полосы поглощения обязателен участок аномальной дисперсии. В то же время прямые измерения дисперсии в области 1А-экситона кристалла CdS при 4.2 К, впервые выполненные в работе [24], показали, что такого участка нет. В настоящей работе проведено более подробное и тщательное сравнение экспериментальных кривых с рассчитанными по соотношениям Крамерса–Кронига в максимально доступном для нас спектральном диапазоне.

Экспериментально измеренный спектр коэффициента поглощения  $\kappa(\omega)$  в области 1А-, 1В- и 2А-экситонных состояний кристалла CdS при 4.2 К представлен на рис. 1а кривой 1. Он был измерен на монокристалле CdS толщиной 0.18 мкм в работе [25]. На основании этого спектра по соотношению (5) была рассчитана дисперсия показателя преломления  $n(\omega)$  в этом же спектральном интервале. При расчете в соотношении (5) единица была заменена фоновым показателем преломления  $n_0$ , учитывающим вклад в  $n$  всех остальных резонансов, кроме рассматриваемого. Полученная зависимость изображена кривой 3. На том же рисунке кривой 2 представлена дисперсия  $n(\omega)$ , измеренная экспериментально. Приведена усредненная кривая, полученная в разных ра-

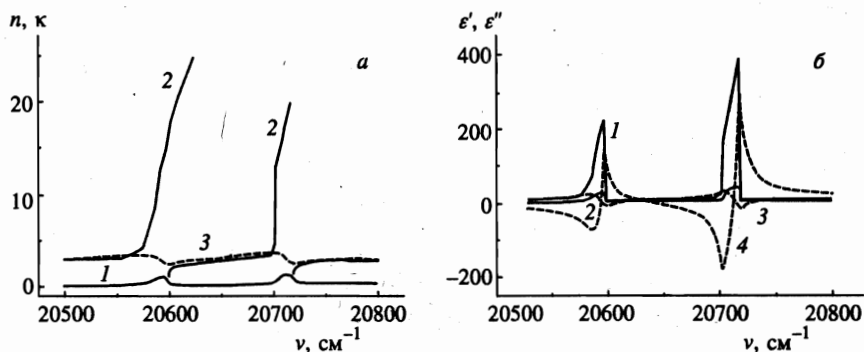


Рис. 1. а — Зависимость экспериментально измеренной дисперсии  $n(\omega)$  (кривая 2) и рассчитанной на основании спектра поглощения  $\kappa(\omega)$  (кривая 1) по соотношению (5) (кривая 3). б — Зависимости  $\epsilon'(\omega)$  и  $\epsilon''(\omega)$ , полученные из экспериментально измеренных  $n(\omega)$  и  $\kappa(\omega)$  (кривые 1 и 2), и рассчитанные по соотношениям (3) и (4) (кривые 3 и 4). По оси абсцисс отложено волновое число  $\nu = 1/\lambda = \omega/2\pi c$

ботах разными экспериментальными методами: 1) с помощью интерферометра Жаме-на, скрещенного со спектрографом, и двулучепреломления [24, 26], 2) методом призмы на тончайшем клинообразном монокристалле [27–29], 3) на основании интерференции Фабри–Перо [30].

Как видно из рисунка, рассчитанные зависимости содержат участок аномального изменения  $n(\omega)$  в интервале полуширин полос поглощения, и размах их примерно равен максимальному значению  $\kappa^{max}$ . В то же время экспериментально измеренные кривые не имеют аномального участка, а размах их существенно больше, чем  $\kappa^{max}$ . Кроме того, в эксперименте зафиксировано одновременное прохождение через кристалл двух волн с разными  $n$ , тогда как из соотношения (5) следует существование лишь одной волны. Таким образом, на рис. 1а продемонстрировано, насколько отличается дисперсия  $n(\omega)$ , рассчитанная по соотношениям Крамерса–Кронига, от измеренной экспериментально для случая, когда существенна пространственная дисперсия  $\epsilon(\omega, \mathbf{K})$ .

По измеренным экспериментально значениям  $n(\omega)$  и  $\kappa(\omega)$  можно вычислить действительную и мнимую части диэлектрической проницаемости. Эти зависимости представлены на рис. 1б соответственно кривыми 1 и 2 (сплошные линии). При вычислении для каждой частоты мы брали лишь одно из измеренных значений  $n(\omega)$ , а именно, значение  $n$  той волны, интенсивность которой была больше. Поэтому, начиная с продольной частоты  $\omega_L = 20600 \text{ см}^{-1}$ , значения  $n$  второй волны отбрасывались. В то же время на основании зависимости  $\epsilon''(\omega)$  по соотношению (3) можно рассчитать кривую  $\epsilon'(\omega)$ , а по (4) на основании  $\epsilon'(\omega)$  — кривую  $\epsilon''(\omega)$ . Результаты такого расчета изображены на том же рисунке соответственно кривыми 3 и 4. Видно кардинальное расхождение кривых 1 и 3, а также 2 и 4 между собой, которое и показывает ошибочность использования соотношений (3), (4) в случаях, когда существенна пространственная дисперсия  $\epsilon(\omega, \mathbf{K})$ .

Следует обратить внимание на то, что условие выполнимости соотношений Крамерса–Кронига, сформулированное в книге [14], при этом еще не нарушено. Согласно [14], особенность у тензора  $\epsilon_{ij}(\omega, \mathbf{K})$  в верхней полуплоскости комплексной  $\tilde{\omega}$ , «по всей вероятности, может появиться лишь в случае нарушения условия  $Ka \ll 1$ , где  $a$  — постоянная решетки или другой характерный размер». (При  $n = 10$  имеем  $aK = 0.063$ , при  $n = 20$   $aK = 0.126$ .) Следовательно, именно присутствие добавочной световой волны является причиной невыполнимости соотношений Крамерса–Кронига, а не нарушение вышеуказанного условия.

### 3. СРАВНЕНИЕ КРИВЫХ ДИСПЕРСИИ И ПОГЛОЩЕНИЯ ПЕКАРОВСКОЙ ТЕОРИИ С РАССЧИТАННЫМИ ПО СООТНОШЕНИЯМ КРАМЕРСА–КРОНИГА

Мы провели проверку применимости соотношений (5) и (6), а следовательно, и (3) и (4), к рассчитанным по теории Пекара кривым дисперсии и поглощения в области 1А-экситона кристалла CdS при разных значениях константы затухания  $\Gamma$ . Остальные параметры теории были выбраны такими, чтобы получить наилучшее согласие рассчитанных и экспериментально измеренных кривых  $n(\omega)$  и  $\kappa(\omega)$  в области 1А-экситона при 4.2 К. Для наилучшей аппроксимации пришлось учесть в явном виде влияние ближайших 1В- и 2А-экситонов на частотную зависимость фоновой диэлектрической проницаемости  $\epsilon_0(\omega)$  в области 1А-экситона. Эффекты пространственной дисперсии в

области 1B- и 2A-экситонов не учитывались, и зависимость  $\varepsilon(\omega)$  была записана в виде

$$\varepsilon(\omega) = \varepsilon_0(\omega) + \frac{\Delta_{LT}^{1A} \varepsilon_0}{\omega_0^{1A} + \hbar K^2 / 2M^{1A} - \omega - i\Gamma^{1A}}, \quad (11)$$

где

$$\varepsilon_0(\omega) = \varepsilon_0 \left( 1 + \frac{\Delta_{LT}^{1B}}{\omega_0^{1B} - \omega - i\Gamma^{1B}} + \frac{\Delta_{LT}^{2A}}{\omega_0^{2A} - \omega - i\Gamma^{2A}} \right). \quad (12)$$

Здесь  $\varepsilon_0 = 7.74$ , продольно-поперечное расщепление  $\Delta_{LT}^{1A} = 16 \text{ см}^{-1}$ , резонансная частота  $\omega_0^{1A} = 20584.0 \text{ см}^{-1}$ ,  $\Gamma^{1A} = 2 \text{ см}^{-1}$ ,  $M^{1A} = 0.8m_e$ ,  $\Delta_{LT}^{1B} = 12 \text{ см}^{-1}$ ,  $\omega_0^{1B} = 20707 \text{ см}^{-1}$ ,  $\Gamma^{1B} = 6 \text{ см}^{-1}$ ,  $\Delta_{LT}^{2A} = 2 \text{ см}^{-1}$ ,  $\omega_0^{2A} = 20770 \text{ см}^{-1}$ ,  $\Gamma^{2A} = 8 \text{ см}^{-1}$ .

Решение дисперсионного уравнения с диэлектрической проницаемостью  $\varepsilon$ , задаваемой (11), определяется формулой Пекара [1]:

$$\tilde{n}_{\pm}^2 = \frac{1}{2} [\mu + \varepsilon_0(\omega)] \pm \sqrt{\frac{1}{4} [\mu - \varepsilon_0(\omega)]^2 + b}, \quad (13)$$

где

$$\mu = \alpha(\omega - \omega_0^{1A} + i\Gamma^{1A}), \quad b = \alpha \Delta_{LT}^{1A} \varepsilon_0, \quad \alpha = \frac{2M^{1A} c^2}{\hbar(\omega_0^{1A})^2}.$$

Двухволновая кристаллооптика Пекара переходит в одноволновую классическую, начиная с некоторого критического значения константы затухания  $\Gamma_{cr}$  [31, 32]. Заметим, что функция  $\tilde{n}_{\pm}^2$  имеет точку ветвления в плоскости комплексной переменной  $\tilde{\omega} = \omega' + i\omega''$ , положение которой определяется, если подкоренное выражение в (13) приравнять нулю. Ниже приведен анализ движения точки ветвления в комплексной плоскости при возрастании  $\Gamma$ , проведенный Писковым (в работе [33] положение точки ветвления в плоскости  $\tilde{\omega} = \omega' + i\omega''$  остается фиксированным):

$$\omega' = \omega_0 + \varepsilon_0/\alpha, \quad \omega'' = \sqrt{\Delta_{LT} \varepsilon_0 / \alpha} - \Gamma. \quad (14)$$

При  $\Gamma = \Gamma_{cr} = \sqrt{\Delta_{LT} \varepsilon_0 / \alpha}$ ,  $\omega'' = 0$ , и точка ветвления находится на действительной оси на частоте  $\omega' = \omega_{cr} = \omega_0 + \varepsilon_0/\alpha$ . При этом  $\tilde{n}_+(\omega_{cr}, \Gamma_{cr}) = \tilde{n}_-(\omega_{cr}, \Gamma_{cr})$ , и дисперсионные кривые пересекаются для действительных значений  $\tilde{\omega}$  (ниже для простоты  $\omega'$  будем обозначать  $\omega$ ). При  $\Gamma < \Gamma_{cr}$  точка ветвления находится в верхней полуплоскости комплексной частоты  $\tilde{\omega}$ , а при  $\Gamma > \Gamma_{cr}$  переходит в нижнюю полуплоскость. Поэтому при  $\Gamma < \Gamma_{cr}$  контур интегрирования  $C$ , проходящий по действительной оси и замыкающийся на бесконечности, включает в себя особую точку, и обычные соотношения Крамерса–Кронига вида (3), (4) не могут быть применены. При  $\Gamma > \Gamma_{cr}$  точка ветвления находится за пределами контура интегрирования, и соотношения Крамерса–Кронига могут быть справедливыми. Однако им теперь удовлетворяет лишь одна из волн, имеющая классические пределы и классическую форму, а другая, у которой при  $\omega \rightarrow \infty$  величина  $n$  тоже стремится к бесконечности, не удовлетворяет условию конечности функции, и для нее нельзя записать соотношения Крамерса–Кронига.

Это положение иллюстрируется результатами расчетов, представленными на следующих рисунках. На рис. 2а, б для сравнения приведены пекаровские кривые  $n(\omega)$ ,

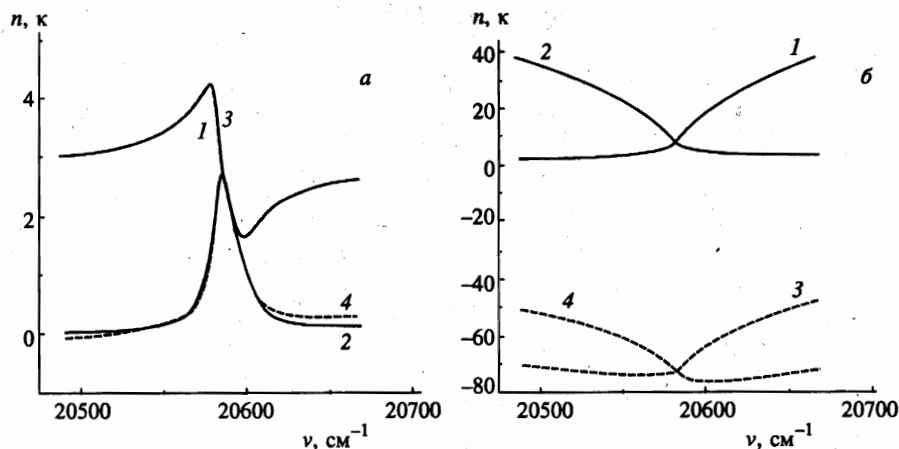


Рис. 2. Пекаровские зависимости  $n(\omega)$  (кривые 1),  $\kappa(\omega)$  (кривые 2) и рассчитанные на их основе по соотношениям (5) и (6) (кривые 3 и 4 соответственно) для волн «плюс-минус» (а) и «минус-плюс» (б);  $\Gamma > \Gamma_{cr}$ .

$\kappa(\omega)$  и рассчитанные по соотношениям (5), (6) при значении  $\Gamma = 8 \text{ см}^{-1}$ , которое больше, чем  $\Gamma_{cr} = 5.64 \text{ см}^{-1}$ . На рис. 2а показаны результаты расчета, проведенного для классической волны, которая при  $\omega < \omega_{cr}$  является пекаровской волной «плюс», соответствующей положительным значениям корня в (13), а при  $\omega > \omega_{cr}$  — волной «минус», соответствующей отрицательным значениям корня. Мы будем ее в дальнейшем называть волной «плюс-минус». На рис. 2б аналогичное сравнение можно провести для неклассической волны, которая при  $\omega < \omega_{cr}$  является пекаровской волной «минус», а при  $\omega > \omega_{cr}$  — волной «плюс». В дальнейшем мы будем ее называть волной «минус-плюс». Сравнение показывает, что рассчитанные по соотношениям (5) и (6) зависимости  $n(\omega)$  и  $\kappa(\omega)$ , изображенные штриховыми линиями, хорошо согласуются с соответствующими исходными кривыми (сплошные линии) в случае классической волны и абсолютно не совпадают с соответствующими кривыми для волны неклассической. При возбуждении кристалла светом амплитуда неклассической волны стремится к нулю [32].

Как отмечалось в работе [11], если в среде могут распространяться два типа волн, различающихся значениями  $n(\omega)$  и  $\kappa(\omega)$ , то «каждой такой волне можно сопоставить свое значение  $\varepsilon(\omega)$ ». Поэтому мы провели сравнение кривых  $\varepsilon'(\omega)$  и  $\varepsilon''(\omega)$  для каждой из волн с их частотной зависимостью, рассчитанной по соотношениям (3) и (4). Оказалось, что для классической волны эти соотношения выполняются, а для неклассической — нет.

В связи с этим уместно процитировать работу Давыдова [11]. «При наличии пространственной дисперсии показатель преломления и коэффициент поглощения обычных поперечных волн удовлетворяют обычным соотношениям Крамерса–Кронига. Для дополнительных поперечных волн в некоторых областях частот величины  $n$ ,  $\kappa$  и  $\varepsilon$  принимают бесконечные значения, т. е. теряют физический смысл макроскопических характеристик среды. Следовательно, функция  $\varepsilon(\omega)$  не является аналитической в верхней полуплоскости переменной  $\tilde{\omega}$ , включающей вещественную ось, и для нее нельзя написать интегральное соотношение типа Крамерса–Кронига.» Как видно из рис. 2, это утверждение действительно справедливо для  $\Gamma > \Gamma_{cr}$ , когда можно во всем частот-

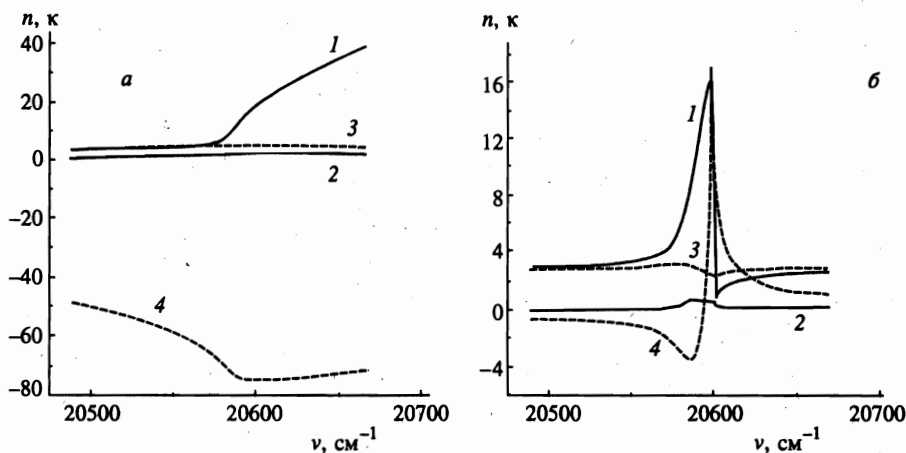


Рис. 3. То же, что на рис. 2, при  $\Gamma < \Gamma_{cr}$  для волн «плюс» (а) и «плюс-минус» со стыковкой решений на  $\omega_l$  (б)

ном диапазоне говорить об основной и дополнительной волнах. Еще раз подчеркнем, что при этом амплитуда добавочной волны стремится к нулю. Однако при значениях  $\Gamma < \Gamma_{cr}$  ситуация сложнее, поскольку каждая из двух волн в зависимости от частотного интервала является или основной (с преобладающей амплитудой), или дополнительной (с меньшей амплитудой), либо амплитуды обеих волн равны, и нельзя сказать, какая из них основная, а какая дополнительная.

Мы провели целую серию расчетов при  $\Gamma = 1 \text{ см}^{-1} < \Gamma_{cr}$ . Сначала рассчитывались пекаровские кривые  $n(\omega)$  и  $\kappa(\omega)$ , затем к ним применялись соотношения Крамерса–Кронига (5) и (6) и полученные зависимости сравнивались с исходными. Такое сравнение было выполнено для волны «плюс», волны «минус», волны «минус-плюс» и волны «плюс-минус». Кроме того, был рассмотрен также случай составной волны, у которой переброс с ветви «плюс» на ветвь «минус» происходит на частоте  $\omega_l$ . Мы выбрали дополнительно последний вариант расчета исходя из результатов работы Ахмедиева [33], в которой получена хорошая аппроксимация контура интегрального поглощения 1А-экситона CdS с помощью такой волны.

Оказалось, что ни в одном из рассмотренных случаев нет совпадения исходных и рассчитанных зависимостей. В качестве иллюстрации на рис. 3 приведены результаты двух вариантов счета. Аналогичные результаты получены и для  $\epsilon'(\omega)$  и  $\epsilon''(\omega)$ .

Таким образом, соотношения Крамерса–Кронига хорошо выполняются, если добавочная волна становится несущественной. Однако, если амплитуды обеих волн сравнимы, эти соотношения не выполняются ни для каждой из волн в отдельности, ни для какой-либо их комбинации, в том числе «классической».

#### 4. АНАЛИЗ СПЕКТРОВ ОТРАЖЕНИЯ, РАССЧИТАННЫХ ПО ТЕОРИИ ПЕКАРА

Согласно теории Пекара [1, 2, 34–36], спектры отражения  $R(\omega)$  и изменения фазы световой волны при отражении  $\theta(\omega)$  описываются классическими формулами Френеля (9) и (10), если в них вместо  $n$  и  $\kappa$  подставить «эффективные» значения  $n^{eff}$  и  $\kappa^{eff}$ ,



где

$$\tilde{n}^{eff} = n^{eff} + i\kappa^{eff} = \frac{\tilde{n}_+}{1-\tilde{q}} + \frac{\tilde{n}_-}{1-1/\tilde{q}} \equiv \frac{\varepsilon_0 + \tilde{n}_+\tilde{n}_-}{\tilde{n}_+ + \tilde{n}_-},$$

$$\tilde{q} = |q|e^{i\Phi} = -\frac{E_-}{E_+} = \frac{\varepsilon_0 - \tilde{n}_+^2}{\varepsilon_0 - \tilde{n}_-^2}.$$
(15)

На рис. 4а представлены спектральные зависимости  $n^{eff}(\omega)$  и  $\kappa^{eff}(\omega)$  в области 1А-экситона кристалла CdS (кривые 1, 2). Они рассчитаны для тех же значений параметров теории, что в разд. 3. Затем по соотношениям (6) и (5) была рассчитана пара сопряженных им по соотношениям Крамерса-Кронига величин (кривые 3 и 4). Видно, что согласие между зависимостями 1 и 3, а также 2 и 4 очень хорошее. Таким образом, можно считать, что (5) и (6) выполняются, если их применять к «эффективным» значениям  $n^{eff}$  и  $\kappa^{eff}$ .

Подчеркнем, что  $n^{eff}$  и  $\kappa^{eff}$  резко отличаются от показателей преломления волн «плюс» и «минус», актуальных для света, прошедшего через кристаллическую пластинку, что и подтверждается экспериментальными измерениями (сравните рис. 1 и рис. 4а). Поэтому такие фундаментальные оптические характеристики как  $\varepsilon'$  и  $\varepsilon''$ , вычисленные по этим значениям, будут неверными. Если формально по аналогии с одноволновой теорией записать  $(\varepsilon'')^{eff} = 2n^{eff}\kappa^{eff}$ , то эта величина никоим образом не описывает энергетические потери в кристалле. Так, в предельном случае  $\Gamma = 0$  поглощение света не происходит, а величина  $(\varepsilon'')^{eff}$  отлична от нуля и довольно значительна. Тем не менее связь между  $(\varepsilon')^{eff} = (n^{eff})^2 - (\kappa^{eff})^2$  и  $(\varepsilon'')^{eff}$  описывается соотношениями (3) и (4).

Далее по теории Пекара на основании «эффективных» значений  $n^{eff}$  и  $\kappa^{eff}$  были рассчитаны спектры отражения  $R^P(\omega)$  и фазы отраженной волны  $\theta^P(\omega)$  (кривые 1 и 2 на рис. 4б). К этим спектрам были применены соотношения Крамерса-Кронига (8) и

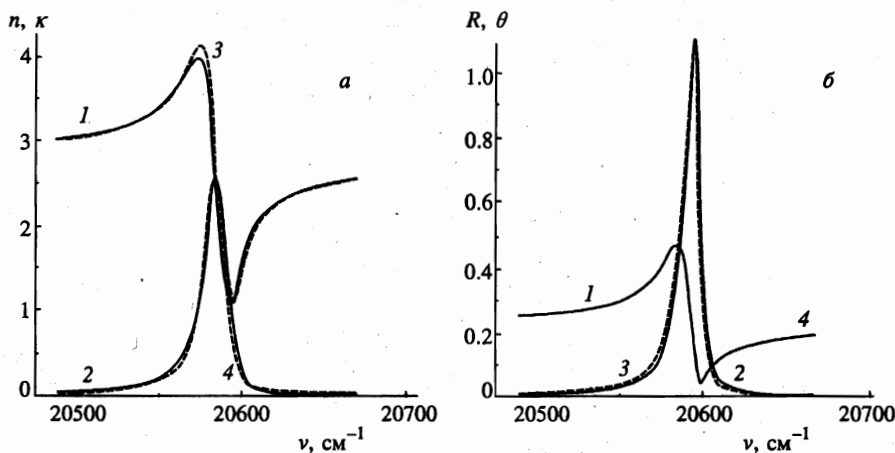


Рис. 4. а — Пекаровские зависимости  $n^{eff}(\omega)$  (кривая 1) и  $\kappa^{eff}(\omega)$  (кривая 2) и зависимости, рассчитанные на их основе по соотношениям (5) и (6) (кривые 3 и 4). б — Пекаровские зависимости  $R(\omega)$  (кривая 1) и  $\theta(\omega)$  (кривая 2) и зависимости, рассчитанные на их основе по соотношениям (7) и (8) (кривые 3 и 4). Без «мертвого слоя»

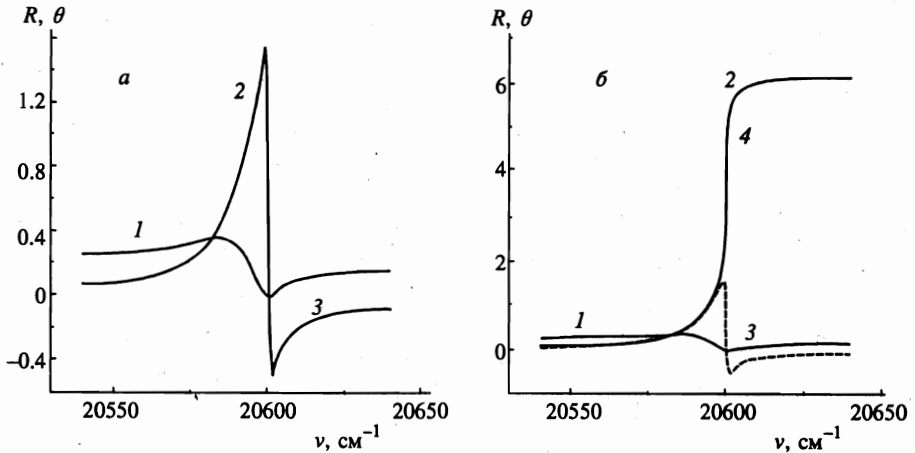


Рис. 5. Зависимости  $\theta^P(\omega)$  (кривые 2) и фазовые спектры  $\theta^K(\omega)$ , рассчитанные на основании  $R^P(\omega)$  (кривые 1) по соотношению (7) (кривые 3), либо по дополненному дисперсионному соотношению (16) (кривая 4): а —  $\Gamma > \Gamma^{lim}$ , б —  $\Gamma < \Gamma^{lim}$ . Мертвый слой на поверхности

(7) и рассчитаны соответственно зависимости  $R^K(\omega)$  и  $\theta^K(\omega)$  (кривые 4 и 3). Хорошее совпадение обеих пар кривых, представленных на рис. 4б, показывает, что соотношения (7) и (8) полностью выполняются, если их применить к спектрам отражения  $R$  и  $\theta$ , вычисленным по  $n^{eff}$  и  $\kappa^{eff}$ .

Однако, как было обнаружено еще в работах [37–39], экспериментальные фазовые кривые отражения  $\theta(\omega)$  выглядят иначе, чем на рис. 4б. Это объясняется наличием безэкситонного «мертвого слоя» на поверхности кристалла. В этом случае в зависимости от  $\Gamma$  функция  $\theta(\omega)$  имеет либо  $S$ -образную, либо  $N$ -образную форму (ср. кривые на рис. 5б и 5а). Подробно вопрос о применимости соотношений Крамерса–Кронига (7) и (8) к спектрам отражения был проанализирован в работах [15–19]. Авторы показали, что при малых значениях  $\Gamma$  (низкие температуры) справедливыми являются не обычные, а дополненные дисперсионные соотношения:

$$\theta(\omega) = \frac{\omega}{\pi} \int_0^\infty \frac{\ln[R_0/R(x)]}{x^2 - \omega^2} dx + 2 \operatorname{arctg} \frac{\Gamma^{lim} - \Gamma}{\omega^{lim} - \omega} + a, \quad (16)$$

$$\ln \frac{R(\omega)}{R_0} = \frac{4}{\pi} \int_0^\infty \frac{x[\theta(x) - a]}{x^2 - \omega^2} dx + 2 \ln \left[ 1 + \left( \frac{\Gamma^{lim} - \Gamma}{\omega^{lim} - \omega} \right)^2 \right]. \quad (17)$$

Здесь  $R_0$  — коэффициент отражения вдали от резонанса;  $\Gamma^{lim}$  — так называемая граничная константа затухания, при которой с увеличением  $\Gamma$  происходит переход от  $S$ -образной формы фазовой кривой к  $N$ -образной;  $\omega^{lim}$  — частота, на которой добавочное слагаемое в формуле (16) становится равным  $\pm\pi$ ;  $a = 0$  при  $\omega < \omega^{lim}$ ,  $a = 2\pi$  при  $\omega > \omega^{lim}$ . При  $\Gamma > \Gamma^{lim}$  добавочные члены в выражениях (16) и (17) надо отбросить, что автоматически переводит их в (7) и (8).

Как и в предыдущем случае (см. рис. 4б), мы провели сравнительные расчеты фазовых спектров в области 1А-экситона кристалла CdS с учетом мертвого слоя (рис. 5).

Толщина мертвого слоя принималась равной  $70 \text{ \AA}$ , что близко к теоретически ожидаемой величине и определенным в работах [37–39] значениям. Путем изменения  $\Gamma$  определялись  $\Gamma^{lim}$  и  $\omega^{lim}$  по переходу от  $S$ - к  $N$ -образным кривым. Остальные параметры теории те же, что для рис. 4. Сначала рассчитывались спектры  $R^P(\omega)$  и  $\theta^P(\omega)$  по теории Пекара с учетом мертвого слоя. Затем на основании спектра отражения  $R^P(\omega)$  рассчитывалась соответствующая фазовая кривая  $\theta^K(\omega)$  либо по соотношению (7), либо по соотношению (16) и сравнивалась с пекаровской фазовой кривой  $\theta^P(\omega)$ .

Результаты сравнения для двух значений  $\Gamma$ , больших и меньших граничного значения  $\Gamma^{lim} = 1.21 \text{ см}^{-1}$ , представлены соответственно на рис. 5а и 5б. Из рисунка видно, что при наличии мертвого слоя и при  $\Gamma > \Gamma^{lim}$  связь между фазовой и амплитудной кривыми отражения хорошо описывается обычными соотношениями Крамерса–Кронига (7). Однако при этом  $N$ -образная зависимость имеет отрицательный участок, обусловленный интерференцией волн, отраженных от поверхности кристалла и границы мертвого слоя, и поэтому оптические константы  $n$  и  $\kappa$ , определенные обычным способом из формул (9), (10), оказываются неверными. Во-первых, в кривой  $\kappa(\omega)$  в этом случае автоматически тоже появляется область отрицательных значений, что не имеет физического смысла. Во-вторых, абсолютные значения получаются ошибочными.

При  $\Gamma < \Gamma^{lim}$  хорошо выполняются дисперсионные соотношения, выведенные Московским и Соловьевым, так как практически совпадают фазовые кривые 2 и 4, имеющие  $S$ -образную форму. Однако определение оптических констант и спектра фазы отраженной волны в этом случае таит еще больше опасностей. Ведь если применять соотношение (7) к спектру отражения неизвестного вещества с целью определения его оптических констант, что широко практикуется в современной физике, то не только значения  $n$  и  $\kappa$ ,  $\epsilon'$  и  $\epsilon''$  получатся неверными, но и фазовая кривая 3 будет существенно отличаться от истинной кривой 2.

Особенно хотелось бы обратить внимание на то, что фазовая кривая, рассчитанная на основании спектра отражения по соотношению (7) (рис. 5б, кривая 3), имеет  $N$ -образную форму с отрицательным участком. В эксперименте в расчетах зависимости  $\theta(\omega)$  по  $R(\omega)$  также иногда получаются участки с отрицательными значениями фазовой кривой. Нам кажется, что это свидетельствует о том, что на исследуемой поверхности кристалла имеется либо мертвый слой, либо просто слой с измененными оптическими константами. Нельзя, как это иногда делают, произвольно «приподнимать» фазовую кривую, чтобы ликвидировать область отрицательных значений.

## 5. АНАЛИЗ СПЕКТРА ОТРАЖЕНИЯ В ОСЦИЛЛЯТОРНОЙ МОДЕЛИ

Поскольку частотные зависимости эффективных оптических характеристик, фигурирующих в теории Пекара для вычисления спектров  $R(\omega)$  и  $\theta(\omega)$ , похожи на соответствующие зависимости классического осциллятора, мы провели расчеты и для этого случая. Параметры счета были такими же, как в разделах 3 и 4, только эффективная масса экситона принималась равной бесконечности. При этом оказалось, что  $\Gamma^{lim} = 3.21 \text{ см}^{-1}$ . Были рассчитаны энергетические и фазовые спектры отражения для случаев отсутствия и наличия мертвого слоя на поверхности гипотетического кристалла. Оказалось, что фазовые кривые  $S$ -образной и  $N$ -образной формы получаются и для обычного осциллятора в случае, если на поверхности имеется мертвый слой. Таким образом, не эффекты пространственной дисперсии, а мертвый слой ответствен за такую форму кривых  $\theta(\omega)$ .

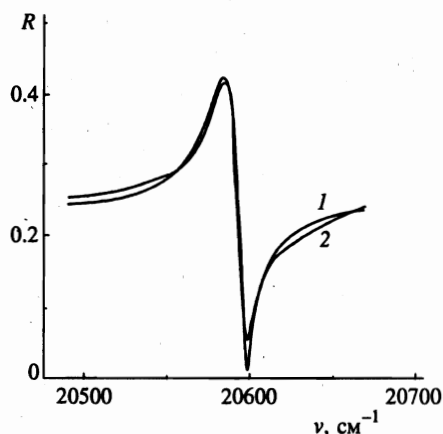


Рис. 6. Экспериментально измеренный спектр отражения (кривая 1) и рассчитанный по теории Пекара с мертвым слоем на поверхности кристалла (кривая 2)

Как показано в [15], причиной перехода от  $N$ -образного типа фазовых кривых к  $S$ -образному является наличие нулевой точки в спектре  $R(\omega)$ . В плоскости комплексной переменной  $\tilde{\omega} = \omega' + i\omega''$  это особая точка, и при интегрировании по контуру  $C$  при  $\Gamma < \Gamma^{lim}$  ее надо обойти, что приводит к появлению добавочного члена в (7) и необходимости добавить  $2\pi$  при частотах  $\omega > \omega^{lim}$ . Таким образом, соотношение Крамерса–Кронига (7) переходит в дополненное дисперсионное соотношение (16). Именно на частоте  $\omega^{lim}$  при  $\Gamma = \Gamma^{lim}$  зависимость  $R(\omega)$  проходит через нуль.

При наличии поглощения в среде причиной обращения в нуль зависимости  $R(\omega)$  может быть только интерференционный эффект. А он возможен как при существенности пространственной дисперсии в среде, так и если пространственная дисперсия не существенна, т. е. для осциллятора. Поэтому  $N$ -образные фазовые кривые с отрицательным участком возможны и без пространственной дисперсии, но обязательно в присутствии мертвого слоя, т. е. и при высоких температурах, и в средах, в которых заведомо несущественны эффекты пространственной дисперсии.  $S$ -образные кривые возможны только при низких температурах и малых  $\Gamma < \Gamma^{lim}$ , но наличие пространственной дисперсии  $\epsilon$  не обязательно.

## 6. АНАЛИЗ ЭКСПЕРИМЕНТАЛЬНО ИЗМЕРЕННОГО СПЕКТРА ОТРАЖЕНИЯ

В заключение с учетом проведенного выше анализа мы применили соотношения Крамерса–Кронига к экспериментально измеренному спектру  $R^e(\omega)$  в области 1A-экситона кристалла CdS при 4.2 К. Имеется обширная литература по этим спектрам, обобщенная в книге [40]. Разные кристаллические образцы одного и того же вещества в одинаковых условиях могут иметь разные спектры отражения, отличающиеся как дополнительной структурой (пички-«спайки»), так и величиной размаха кривой  $R(\omega)$ . Мы выбрали один из типичных бесструктурных спектров, который использовался в работе [23] для сравнения со спектром отражения, рассчитанным по формуле Френеля. В [23] его удалось неплохо аппроксимировать зависимостью, рассчитанной по теории Пекара без мертвого слоя на поверхности кристалла. В настоящей работе мы для лучшей аппроксимации использовали соотношение (7). Оказалось, что фазовая кривая имеет отрицательный участок. Это свидетельствует о наличии мертвого слоя на поверхности этого кристалла. Положив его толщину равной 70 Å и варьируя константу затухания, мы добились наилучшего согласия рассчитанной и экспериментальной кривых  $R(\omega)$  (рис. 6).

При аппроксимации очень существенным оказался учет  $1B$ -экситона, который резко изменяет коротковолновое предельное поведение дисперсии  $n(\omega)$ . Одним из этапов подгонки был поиск наилучшего согласия фазовых кривых, рассчитанных по соотношению (7) из  $R^e(\omega)$  и из  $R^P(\omega)$ . Мы добивались согласования размахов отрицательного участка на фазовых кривых, которое было получено при значении  $\Gamma = 0.7 \text{ см}^{-1}$ . Важно подчеркнуть, что обе теоретически рассчитанные кривые не соответствуют реальному изменению фазы при отражении, так как при этом значении  $\Gamma$ , значительно меньшем граничного значения  $\Gamma^{lim}$ , фазовая кривая должна рассчитываться по дополненному соотношению (16), и иметь  $S$ -образную форму, которая и наблюдалась для образцов, использованных в [37, 39].

Таким образом, важная информация, которая может быть получена от применения соотношения (7) к спектру отражения, — это указание на наличие мертвого слоя на поверхности. Однако истинная фазовая кривая не может быть получена без дополнительного исследования. Напомним, что определение параметров теории из одного только спектра  $R(\omega)$  является неоднозначным, так как очень близкие кривые могут быть получены при разной комбинации параметров (см. также [40]). Только определив из других данных значение  $\Gamma$  и сравнив его с  $\Gamma^{lim}$  и  $\Gamma_{cr}$ , можно быть уверенным в правильности полученной фазовой кривой и оптических констант вещества.

## 7. ЗАКЛЮЧЕНИЕ

1. Проведено сравнение экспериментально измеренных кривых  $n(\omega)$  и  $\kappa(\omega)$  кристалла CdS в области основных экситонных состояний при 4.2 К с рассчитанными на их основе по соотношениям Крамерса–Кронига соответствующими сопряженными величинами. Показано резкое их несоответствие друг другу.

2. Показано, что соотношения (5), (6) и (3), (4) выполняются только при  $\Gamma > \Gamma_{cr}$  и только для классической волны («плюс-минус»). Во всех других случаях эти соотношения не выполняются, а именно: при  $\Gamma > \Gamma_{cr}$  для неклассической волны («минус-плюс»); при  $\Gamma < \Gamma_{cr}$  для волн «плюс» и «минус» в отдельности и для составных их комбинаций, включая классическую.

3. Все соотношения Крамерса–Кронига — (3), (4), (5), (6) и (7), (8) — выполняются, если их применить к эффективным величинам  $n^{eff}$  и  $\kappa^{eff}$ , которые являются параметрами теории Пекара и сложным образом выражаются через  $n_{\pm}(\omega)$  и  $\kappa_{\pm}(\omega)$  истинных волн в кристалле. При этом формально записанная величина  $(\epsilon'')^{eff} = 2n^{eff}\kappa^{eff}$  не отражает настоящие энергетические потери в среде.

4. При наличии мертвого слоя на поверхности кристалла связь между фазовой и энергетической кривыми отражения хорошо описывается либо обычным соотношением (7), когда фазовая кривая имеет  $N$ -образную форму ( $\Gamma > \Gamma^{lim}$ ), либо дополненным дисперсионным соотношением (16), когда фазовая кривая имеет  $S$ -образную форму ( $\Gamma < \Gamma^{lim}$ ). Однако оптические постоянные вещества, полученные на основании спектров  $R(\omega)$  и  $\theta(\omega)$  обычным пересчетом (без учета мертвого слоя и пространственной дисперсии), будут неверными.

5. Показано, что фазовые кривые  $S$ -образной и  $N$ -образной формы могут быть получены и в случае отсутствия пространственной дисперсии  $\epsilon$ , а именно, для классического осциллятора, если на поверхности имеется мертвый слой.

6. С помощью соотношения Крамерса–Кронига (7) на основании теории Пекара аппроксимирован экспериментально измеренный спектр отражения  $R(\omega)$  в области  $1A$ -экситона кристалла CdS при 4.2 К.

В заключение авторы выражают глубокую благодарность В. Н. Писковому и В. И. Шеке за многочисленные и плодотворные обсуждения полученных результатов.

### Литература

1. С. И. Пекар, ЖЭТФ 33, 1022 (1957).
2. С. И. Пекар, ЖЭТФ 34, 1176 (1958).
3. Л. Д. Ландау, Е. М. Лифшиц, *Электродинамика сплошных сред*, Наука, Москва (1984).
4. H. A. Kramers, Atti Congr. Int. Fis. Como 2, 545 (1927).
5. R. de L. Kronig, J. Opt. Soc. Am. Rev. Sci. Instrum. 12, 547 (1926).
6. Т. Мосс, Г. Баррел, Б. Эллис, *Полупроводниковая оптоэлектроника*, Мир, Москва (1976).
7. Г. М. Нуссенцвейг, *Причинность и дисперсионные соотношения*, Мир, Москва (1976).
8. В. В. Соболев, В. В. Немошкаленко, *Методы вычислительной физики в теории твердого тела*, Наукова думка, Киев (1988).
9. Диплом на открытие 323. *Явление распространения добавочных световых волн (волн Пекара) в кристаллах*, С. И. Пекар. — ОТ-11003; заявл. 27.09.84; опубл. 30.08.87. Открытия. Изобрет. № 32, 3 (1987).
10. М. А. Леонтович, ЖЭТФ 40, 907 (1961).
11. А. С. Дывыдов, ЖЭТФ 43, 1832 (1962).
12. C. Alden Mead, Radiation Research 20, 101 (1963).
13. В. Л. Гинзбург, Н. Н. Мейман, ЖЭТФ 46, 243 (1964).
14. В. М. Агранович, В. Л. Гинзбург, *Кристаллооптика с учетом пространственной дисперсии и теория экситонов*, Наука, Москва (1979).
15. С. Б. Московский, Л. Е. Соловьев, ЖЭТФ 86, 1419 (1984).
16. С. Б. Московский, А. Б. Новиков, Л. Е. Соловьев, ФТТ 30, 1431 (1988).
17. T. Musienko, V. Rudakov, and L. Solov'ev, J. Phys.: Condens. Matter 1, 6745 (1989).
18. С. Б. Московский, А. Б. Новиков, О. С. Омегов и др., ФТТ 33, 657 (1991).
19. С. Б. Московский, А. Б. Новиков, Л. Е. Соловьев, ЖЭТФ 105, 994 (1994).
20. М. С. Бродин, А. Ф. Прихотько, М. С. Соскин, Опт. и спектр. 6, 28 (1959).
21. М. С. Бродин, М. И. Страшникова, ФТТ 4, 2454 (1962).
22. М. И. Страшникова, ФТТ 17, 729 (1975).
23. С. И. Пекар, М. И. Страшникова, ЖЭТФ 68, 2047 (1975).
24. М. С. Бродин, Н. А. Давыдова, М. И. Страшникова, Письма в ЖЭТФ 19, 567 (1974).
25. М. И. Страшникова, А. Т. Рудчик, ФТТ 14, 984 (1972).
26. V. Ya. Reznichenko, M. I. Strashnikova, and V. V. Cherny, Phys. Stat. Sol. B 152, 675 (1989).
27. М. В. Лебедев, М. И. Страшникова, В. В. Тимофеев и др., Письма в ЖЭТФ 39, 366 (1984).
28. А. А. Демиденко, М. В. Лебедев, С. И. Пекар и др., ЖЭТФ 89, 330 (1985).
29. М. И. Страшникова, В. В. Черный, ФТТ 32, 1090 (1990).
30. I. V. Makarenko, I. N. Uraltsev, and V. A. Kiselev, Phys. Stat. Sol. B 72, 161 (1975).
31. A. S. Davydov and E. N. Myasnikov, Phys. Stat. Sol. B 68, 325 (1974).
32. М. И. Страшникова, Е. В. Бессонов, ЖЭТФ 74, 2206 (1978).
33. Н. Н. Ахмедиев, ЖЭТФ 79, 1534 (1980).
34. С. И. Пекар, ЖЭТФ 36, 451 (1959).
35. С. И. Пекар, ЖЭТФ 38, 1786 (1960).
36. С. И. Пекар, *Кристаллооптика и добавочные световые волны*, Наукова думка, Киев (1982).
37. Л. Е. Соловьев, А. Б. Бабинский, Письма в ЖЭТФ 23, 291 (1976).
38. А. В. Комаров, С. М. Рябченко, М. И. Страшникова, ЖЭТФ 74, 251 (1978).
39. А. Б. Певцов, С. А. Пермогоров, Ш. Р. Сайфуллаев и др., ФТТ 22, 2400 (1980).
40. В. А. Киселев, Б. В. Новиков, А. Е. Чередниченко, *Экситонная спектроскопия приповерхностной области полупроводников*, Изд. Ленинградского университета, Ленинград (1987).